

УДК 536.24

## Пульсирующее ламинарное течение в прямоугольном канале\*

Е.П. Валуева, М.С. Пурдин

*Национальный исследовательский университет  
«Московский энергетический институт»*

E-mail: ep.valueva@gmail.com

Задача о развитии ламинарного пульсирующего течения в прямоугольном канале решена методом конечных разностей. Определены оптимальные параметры разностной схемы; получены данные по амплитуде и фазе колебаний продольной скорости, коэффициента гидравлического сопротивления, касательного напряжения на стенке. По значению безразмерной частоты колебаний выделены два характерных режима — квазистационарный и высокочастотный. В квазистационарном режиме значения всех гидродинамических величин соответствуют значениям средней по сечению скорости в данный момент времени. Показано, что в высокочастотном режиме зависимости от безразмерной частоты колебаний колеблющихся составляющих гидродинамических величин имеют одинаковый характер для прямолинейных каналов с разной формой поперечного сечения (круглой трубы, плоского и прямоугольного каналов). Проанализировано влияние соотношения сторон прямоугольного канала на гидродинамику пульсирующего потока.

**Ключевые слова:** гидродинамика, пульсирующее ламинарное течение, численное моделирование, микрофлюидная техника.

### Введение

Ламинарное течение встречается в прямоугольных каналах систем биологических микрочипов, разработка которых активно ведется в последние годы (см., например, [1]). Эти системы предназначены для диагностики работы различных органов человека, а также для адресной и точно дозированной доставки к ним лекарственных препаратов. Гидравлические диаметры микроканалов  $d_i$  варьируются по порядку величины от 1 до 100 мкм.

Для медико-биологических исследований используются пневматические микронасосы с периодическим вытеснением жидкости из свободных объемов. С целью обеспечения постоянного расхода жидкости применяются специальные устройства [2], усложняющие и удорожающие микрофлюидные установки. Поэтому можно предположить, что экономически выгодными могут быть установки с пульсирующим расходом. Однако сведения о влиянии пульсаций расхода жидкости на колебания коэффициентов гидравлического сопротивления (что важно для расчета перепада давления, необходимого для прокачки жидкости) и сопротивления трения (что важно при проведении некоторых медико-биологических исследований [3]) отсутствуют.

---

\* Работа выполнена при финансовой поддержке Минобрнауки РФ (гос. задание № 3.1519.2014/к).

Детальное изучение гидродинамики при ламинарном пульсирующем течении в прямоугольном канале до настоящего времени ни опытным, ни расчетным путем не проводилось. В работе [4] был выполнен эксперимент для течения воды в прямоугольном канале с гидравлическим диаметром 144 мкм, сечением  $260 \times 100$  мкм, длиной  $L = 20$  мм, значительно превышающей длину начального гидродинамического участка. Задавались пульсации расхода жидкости прямоугольной формы с разными значениями времен  $t_N$  и  $t_F$ , в течение которых сохранялись максимальное и минимальное значения расхода. Среднее во времени число Рейнольдса изменялось в диапазоне  $Re_{d_T} = 10-620$ , амплитуда колебаний  $A = 0,27$ , безразмерная частота колебаний  $F = d_T^2 / [v(t_N + t_F)]$  достигала значений 0,00365. Вычисленные по результатам измерений значения числа Пуазейля  $Po$  (в выражении  $f = Po / Re_{d_T}$ ,  $f = 2\Delta\bar{p}d_T / (\rho < \bar{u} >^2 L)$ ) оказались ниже, чем при стационарном течении, что вызывает некоторое сомнение. При развитом ламинарном течении с периодическим изменением расхода во времени значения осредненных по периоду колебаний гидродинамических характеристик должны совпадать с их значениями при стационарном течении.

Наложение колебаний на ламинарное течение в канале может привести к существенным изменениям гидродинамических характеристик потока, что подробно изучено для течения в круглой трубе и плоском канале. Впервые влияние наложенных колебаний средней по сечению скорости на профиль продольной скорости при ламинарном течении в трубе было обнаружено в экспериментах [5]. Был получен так называемый аннулярный эффект Ричардсона: при относительно высоких частотах возникает максимум на профиле колеблющейся составляющей продольной скорости в узком пристеночном слое, толщина которого уменьшается с увеличением частоты. В остальной части трубы жидкость колеблется как целое в соответствии с колебаниями средней по сечению скорости. Теоретически задача о ламинарном пульсирующем течении в трубе впервые была решена в [6], наиболее полное ее решение для круглой трубы представлено в [7]. В работе [8] решение указанной задачи выполнялось аналогично [7], но при условии, что задавалось не гармоническое колебание средней по сечению скорости, а колебание градиента давления. Выкладки, сделанные в работе [8], по своей сути являются повторением решения [7]. Из аналитического решения уравнения движения для пульсирующего течения следует, что при определенных числах Рейнольдса среднего во времени течения и относительно высоких частотах и амплитудах колебаний существуют зоны возвратных (реверсивных) течений вблизи стенки, когда местная продольная скорость направлена против среднего потока. Наличие этих зон подтверждено в работе [8] и экспериментально, причем с очень хорошим совпадением теории и эксперимента. Аналитическое решение задачи о ламинарном пульсирующем течении в плоском канале приведено также в работе [9]. Закономерности колебаний гидродинамических величин для течения в плоском канале и в круглой трубе качественно совпадают.

Расчетные исследования колеблющегося течения в прямоугольном канале весьма ограничены. В работах [10], [11] рассматривалось развитое течение, вызванное гармоническими колебаниями градиента давления. После исключения из уравнения движения нестационарного члена задача решалась с помощью разложения в ряд Фурье. В [12] аналогичная задача нахождения амплитуды и фазы колебаний скорости была сведена к решению двух уравнений Гельмгольца, выполненному методом конечных разностей. Показано, что схема второго порядка точности не уступает схемам более высокого порядка при числе разбиений  $40 \times 40$ . Авторы [12] отмечают, что и в прямоугольном канале наблюдается аннулярный эффект Ричардсона.

В работе [13] рассматривалось развитое колеблющееся течение в прямоугольном канале, две противоположные стенки которого были проницаемыми. Метод решения аналогичен методу, примененному в работах [10], [11]. Как указывается в [13], решение

этой задачи может быть полезно при описании течения крови в фибровых мембранах, используемых для искусственных почек. Также авторами было получено аналитическое решение для развитого колеблющегося течения в треугольном [14] и в тороидальном [15] каналах. В последнем случае исследовалось влияние осцилляций на течение Дина.

Практический интерес представляет изучение процессов теплообмена в так называемых планарных теплообменных аппаратах, состоящих из щелевых микроканалов. Они могут применяться для охлаждения элементов электронной техники, криогенных установок, авиационной и ракетно-космической техники. Такие теплообменники обладают высоким коэффициентом компактности и большими значениями коэффициента теплоотдачи — до  $130 \text{ Квт}/(\text{м}^2 \cdot \text{К})$  [16].

Имеющиеся результаты экспериментальных исследований теплообмена при пульсирующем ламинарном течении в микро- и макроканалах свидетельствуют о том, что наложение пульсаций расхода жидкости может привести к увеличению средней по периоду колебаний теплоотдачи по сравнению с ее значением при стационарном течении, особенно при относительно высоких амплитудах колебаний. В работе [17] экспериментально изучался теплообмен при пульсирующем ламинарном течении в прямоугольном канале с сечением  $(1 \times 16) \text{ мм}$  при числах Рейнольдса среднего во времени течения  $Re = 100\text{--}650$ . Было выявлено, что среднее по периоду число Нуссельта слабо зависит от частоты колебаний, но существенно возрастает с увеличением амплитуды колебаний  $A$  (до 40 % при  $A = 2,5$ ).

Исследование теплообмена при пульсирующем ламинарном течении важно при моделировании процессов, протекающих в системе охлаждения ядерных энергетических установок, размещенных на плавучих платформах в океане. Такие установки, предназначенные, например, для обеспечения питьевой водой прибрежных районов или разработки шельфовых месторождений, являются экономически выгодными по сравнению с наземными атомными электростанциями. В этом направлении в последнее десятилетие появилось значительное количество экспериментальных и расчетно-теоретических работ (см., например, [18]).

В работе [19] задача о ламинарном пульсирующем течении и теплообмене при больших амплитудах колебаний средней по сечению скорости в круглой трубе и плоском канале решена методом конечных разностей. Были получены данные по амплитуде и фазе колебаний коэффициента гидравлического сопротивления, касательного напряжения на стенке, температуры жидкости, теплового потока на стенке  $q_c (T_c = \text{const})$ , температуры стенки  $T_c (q_c = \text{const})$ . Результаты расчета гидродинамических величин хорошо согласуются с аналитическими решениями [7, 8].

Расчетным путем теплообмен при пульсирующем течении в прямоугольных каналах не изучался. Заметим, что без детального анализа влияния наложенных пульсаций на продольную скорость жидкости исследование теплообмена затруднительно.

Целью настоящей работы является анализ особенностей гидродинамических характеристик ламинарного потока в прямоугольном канале при наложении на течение гармонических колебаний расхода и влияния на эти характеристики режимных параметров — безразмерной частоты колебаний и отношения сторон канала.

## 1. Постановка задачи

В последнее десятилетие проведены многочисленные экспериментальные исследования стационарного течения в микроканалах, в которых изучались коэффициент гидравлического сопротивления, профиль скорости, длина начального гидродинамического участка, критическое число Рейнольдса. Они показали, что для моделирования течения однофазной ньютоновской капельной жидкости в микроканалах с гладкими стенками можно использовать уравнения сохранения, справедливые для сплошной среды

с граничным условием прилипания на стенке (см., например, [16, 20]). Нет оснований полагать, что этот вывод нельзя распространить на случай пульсирующего течения. Поэтому результаты расчетов, проведенных в настоящей работе, справедливы для течения как в макроканалах, так и в микроканалах.

Решалось уравнение движения для развитого ламинарного течения жидкости с постоянными свойствами в прямоугольном канале:

$$\frac{\partial u}{\partial t} = -\frac{1}{\rho} \frac{dp}{dx} + \nu \left( \frac{\partial^2 u}{\partial y^2} + \frac{\partial^2 u}{\partial z^2} \right), \quad (1)$$

здесь  $u$  — скорость вдоль продольной оси  $x$ ,  $p$  — давление,  $t$  — время,  $y$  и  $z$  — декартовы координаты, отсчитываемые от оси канала вдоль его ширины  $a$  и высоты  $h$ ;  $\rho$  и  $\nu$  — плотность и кинематический коэффициент вязкости.

Граничные условия для уравнения (1) имеют следующий вид. На стенках канала при  $y = a/2$ ,  $z = 0 \div h/2$ ;  $z = h/2$ ,  $y = 0 \div a/2$  выполняется условие прилипания:  $u = 0$ . На осях канала выполняется условие симметрии: при  $y = 0$ ,  $z = 0 \div h/2$   $\partial u / \partial y = 0$ ; при  $z = 0$ ,  $y = 0 \div a/2$   $\partial u / \partial z = 0$ . Задано, что средняя по сечению скорость изменяется во времени по гармоническому закону:

$$\langle u \rangle = \langle \bar{u} \rangle [1 + A \sin(\omega t)], \quad (2)$$

где  $A$  — амплитуда колебаний,  $\omega$  — круговая частота, черта сверху означает осреднение по времени.

Приведем уравнение (1) к безразмерному виду:

$$4S^2 \frac{\partial U}{\partial t_\omega} = P + \frac{\partial^2 U}{\partial Y^2} + \frac{\partial^2 U}{\partial Z^2}, \quad (3)$$

где  $U = u / \langle \bar{u} \rangle$  и  $t_\omega = \omega t$  — безразмерные продольная скорость и время;  $Y = y / d_\Gamma$ ,  $Z = z / d_\Gamma$  — безразмерные координаты, отсчитываемые от оси канала;  $d_\Gamma = 2h / (1 + h/a)$  —

гидравлический диаметр канала,  $a$  и  $h$  — ширина и высота канала,  $P = -\frac{dp}{dx} \left( \frac{2d_\Gamma}{\rho \langle \bar{u} \rangle^2} \right) \frac{\text{Re}}{2}$  —

безразмерный градиент давления,  $\text{Re} = \langle \bar{u} \rangle d_\Gamma / \nu$  — число Рейнольдса для среднего течения,  $S = (d_\Gamma / 2) \sqrt{\omega / \nu}$  — число Стокса (безразмерная частота колебаний). Заметим, что в работах, которые авторы ведут по данной тематике с конца прошлого века (см., например, [21]), для обозначения безразмерной частоты колебаний используется термин «число Стокса», заимствованный из работ [22, 23]. В последние годы некоторые зарубежные авторы упомянутую частоту называют числом Womersley.

Поскольку уравнение (3) является линейным, его можно представить как сумму уравнений для скорости колеблющегося и среднего во времени течений:  $U(Y, Z, t_\omega) = \bar{U}(Y, Z) + \tilde{U}(Y, Z) \exp[i(t_\omega + \varphi_u)]$ ,  $\tilde{U}(Y, Z) = A_u \bar{U}(Y, Z)$ , где  $A_u(Y, Z)$  и  $\varphi_u(Y, Z)$  — амплитуда и сдвиг фазы колебаний относительно фазы колебаний средней по сечению скорости.

В силу линейности уравнений (1), (3) все гидродинамические величины изменяются во времени по гармоническому закону с одной частотой  $\omega$ . Режимными параметрами, от которых зависит решение для колеблющегося течения, являются число Стокса  $S$  и отношение сторон прямоугольного канала  $h/a$ .

Проинтегрировав по сечению канала уравнение (3), получим баланс импульса

$$\xi^p = \xi^t + \langle \xi^t \rangle, \quad (4)$$

где  $\xi^p = -\frac{dp}{dx} \left( \frac{2d_r}{\rho \langle \bar{u} \rangle^2} \right)$  — коэффициент гидравлического сопротивления,  $\langle \xi^\tau \rangle = -\frac{8 \langle \tau_c \rangle}{\rho \langle \bar{u} \rangle^2}$

средний по периметру коэффициент сопротивления трения,  $\xi^t = \frac{2d_r}{\langle \bar{u} \rangle^2} \cdot \frac{d \langle u \rangle}{dt}$  —

коэффициент сопротивления, обусловленного нестационарностью течения.

Среднее по периметру касательное напряжение на стенках вычисляется следующим образом:

$$\langle \tau_c \rangle = \frac{2\mu}{a+h} \left[ \int_0^{h/2} \left( \frac{\partial u}{\partial y} \right)_{y=a/2} dz + \int_0^{a/2} \left( \frac{\partial u}{\partial z} \right)_{z=h/2} dy \right].$$

Аналитическое решение уравнения движения для стационарного течения в прямоугольном канале было выполнено в работе [24]. В области развитого течения  $\bar{\xi}^p = \langle \bar{\xi}^\tau \rangle = \text{Po} / \text{Re}$ , где число Пуазейля  $\text{Po}$  является функцией отношения сторон  $h/a$ .

Введем местный коэффициент сопротивления трения  $\xi^\tau = -8\tau_c / \rho \langle \bar{u} \rangle^2$ , здесь  $\tau_c = \mu (\partial u / \partial n)_{n=0}$  — касательное напряжение на стенке,  $n$  — нормаль к внешней поверхности стенки. Местное число Пуазейля описывает изменение среднего во времени местного коэффициента сопротивления трения  $\bar{\xi}^\tau = \text{Po} / \text{Re}$  вдоль стенок канала.

Для пульсирующего течения значение безразмерной частоты колебаний определяет два характерных режима: квазистационарный ( $S < 1$ ) и высокочастотный ( $S \rightarrow \infty$ ). В квазистационарном режиме значения всех гидродинамических величин соответствуют значениям средней по времени скорости в данный момент времени. Относительные амплитуды их колебаний равны  $A$ , а фазы — нулю.

Анализ колебаний давления в высокочастотном режиме можно провести, пренебрегая вязким членом в уравнении движения для колеблющегося течения, осредненного по сечению канала:  $\hat{1}AS^2 (8/\text{Re}) = \bar{\xi}^p \exp(\hat{1}\varphi_p)$ . Из этого уравнения, справедливого для прямолинейного канала с любой формой поперечного сечения, следует, что  $\bar{\xi}^p = 8AS^2 / \text{Re}$ . Фаза колебаний давления стремится к значению  $-\pi/2$ . Заметим, что колебания давления запаздывают по отношению к колебаниям средней по сечению скорости для любых  $S$ . Амплитуда колебаний  $A_p = 8AS^2 / \text{Po}$ . В частности, для плоского канала  $A_p = AS^2 / 12$ , для круглой трубы  $A_p = AS^2 / 8$ .

Можно показать, что в высокочастотном режиме для прямолинейного канала с любой формой поперечного сечения амплитуда колебаний среднего по периметру коэффициента сопротивления трения пропорциональна  $AS$ . Коэффициент пропорциональности зависит от отношения сторон; для плоского канала он равен  $1/6$ , для круглой трубы —  $1/4$ . Фаза колебаний стремится к значению  $-\pi/4$ . Колебания трения на стенке запаздывают по отношению к колебаниям средней по сечению скорости, но в меньшей степени, чем к колебаниям давления.

## 2. Метод численного решения

Уравнение (3) решалось методом конечных разностей. Использовалась безусловно устойчивая неявная шеститочечная схема первого порядка точности по  $t_\omega$  (двухслойная) и второго — по  $Y, Z$ . Применялась равномерная сетка по  $Y, Z$  с числом точек  $80 \times 80$ . Число точек по периоду было выбрано равным 1800 (при этом абсолютная погрешность вычисления фазы колебаний составляла не менее 0,0035).

Для исключения безразмерного градиента давления  $P$  система разностных уравнений, аппроксимирующих (3), на каждом слое по времени расщеплялась на две системы пятиточечных уравнений, которые решались итерационным методом Гаусса–Зайделя. Сходимость итераций обеспечивалась строгим диагональным преобладанием в матрице коэффициентов систем разностных уравнений.

Для нахождения функции  $P$  использовалось уравнение (2). Сходимость итераций на каждом слое по времени, а также установление решения по периоду колебаний (с абсолютной погрешностью, ограниченной значением машинного нуля, равно  $1,2 \cdot 10^{-7}$  для языка Си++) контролировалась по значениям  $U$  в каждой точке сетки и по амплитуде колебания давления. При малых числах Стокса ( $S = 1$ ) решение устанавливалось за три периода, при  $S = 20$  для установления решения требовалось около двадцати периодов.

В ходе решения проверялись баланс импульса (4), погрешность которого не превышала 2 % (ее максимальное значение наблюдалась в нулевой фазе колебания средней по сечению скорости), соблюдение равенства  $\bar{\xi}^p = \langle \bar{\xi}^r \rangle$  (погрешность не превышала 0,3 %), а также равенства расчетного и вычисленного аналитическим путем [24] значения числа Пуазейля для осредненного по периоду колебаний и по периметру коэффициента сопротивления трения (погрешность не превышала 1 %).

Тестирование метода численного решения и компьютерной программы проводилось путем сравнения расчетных данных для осредненных по периоду колебаний продольной скорости и числа Пуазейля  $Ro$  с результатами аналитического решения [24] для стационарного течения. Это сравнение иллюстрируют рис. 1, 2. Наблюдается хорошее согласование результатов расчета и решения [24] (погрешность менее 0,3 %). Максимум

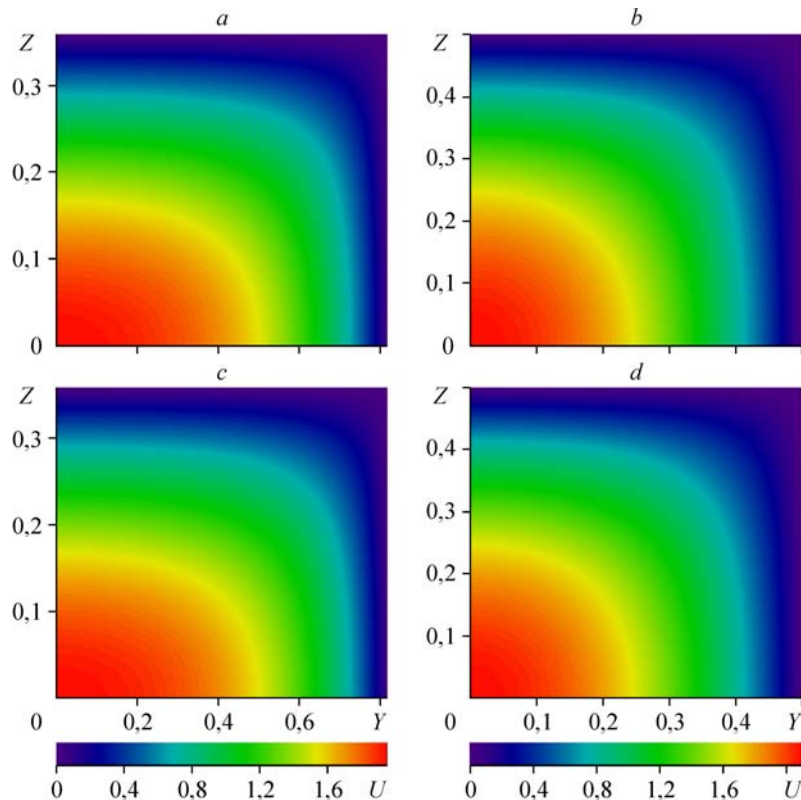
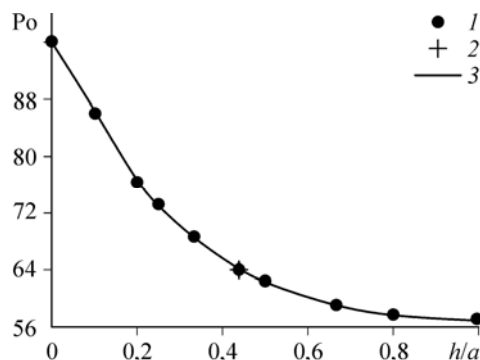


Рис. 1. Изотахи для стационарного течения.

$h/a = 0,439$  (a, c), 1 (b, d); a, b — результаты расчета, c, d — аналитическое решение [24].

Рис. 2. Зависимость числа Пуазейля от соотношения сторон прямоугольного канала. 1 — результаты расчета, 2 —  $Po$  для круглой трубы, 3 — аналитическое решение [24].

продольной скорости расположен на осях канала. Число Пуазейля уменьшается с увеличением отношения  $h/a$ . В соответствии с теорией [9] для плоского канала  $Po = 96$ , для круглой трубы  $Po = 64$ , последнее значение имеет место при течении в прямоугольном канале с  $h/a = 0,439$ .



### 3. Результаты расчетов

На рис. 3 показано изменение по периметру прямоугольного канала местного числа Пуазейля для стационарного течения. Следует обратить внимание на неравномерность этого распределения, в наибольшей степени проявляющуюся для канала с квадратной формой поперечного сечения. В угловой точке канала трение на стенке падает практически до нуля. Заметим, что угловая точка является особой: в ней не выполняется уравнение движения. Однако при численном моделировании можно сколь угодно приблизиться к этой точке, уменьшая шаг сетки.

На рис. 4, 5 для пульсирующего течения при разных соотношениях сторон прямоугольного канала показано изменение амплитуды и фазы колебаний коэффициентов гидравлического сопротивления и среднего по периметру сопротивления трения в зависимости от частоты колебаний. Фаза колебаний давления (рис. 4) слабо зависит от отношения сторон, а относительная амплитуда возрастает при увеличении  $h/a$ , что соответствует приведенному выше анализу для высокочастотных колебаний. Наблюдается более заметное влияние  $h/a$  на фазу колебаний осредненного по сечению трения на стенках (рис. 5).

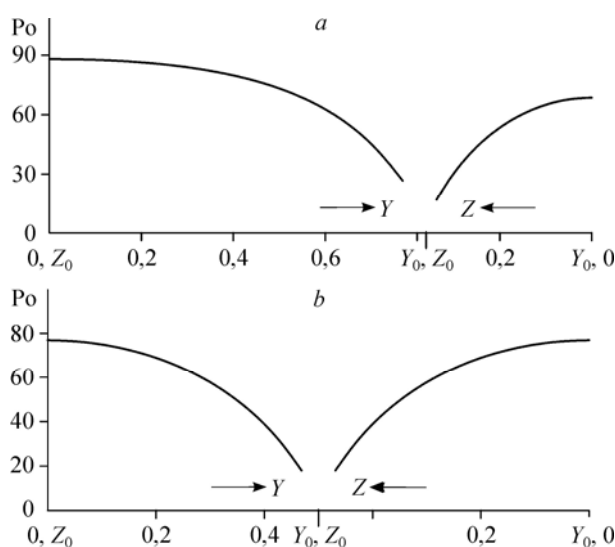


Рис. 3. Распределение местного числа Пуазейля по периметру канала.  $h/a = 0,439$  (a), 1 (b).

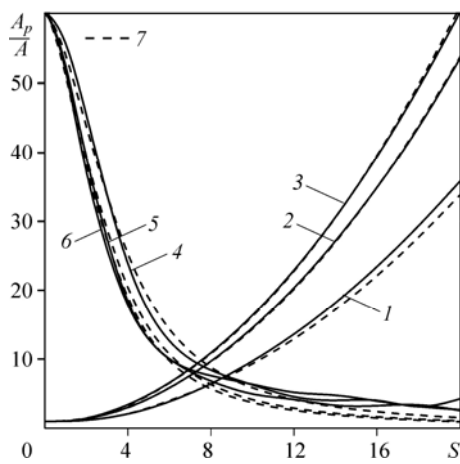


Рис. 4. Амплитуда и фаза колебаний коэффициента гидравлического сопротивления.

1, 2, 3 — амплитуда, 4, 5, 6 — фаза;  $h/a = 0$  (1, 4), 0,439 (2, 5), 1 (3, 6); 7 — расчет по аппроксимирующим зависимостям.

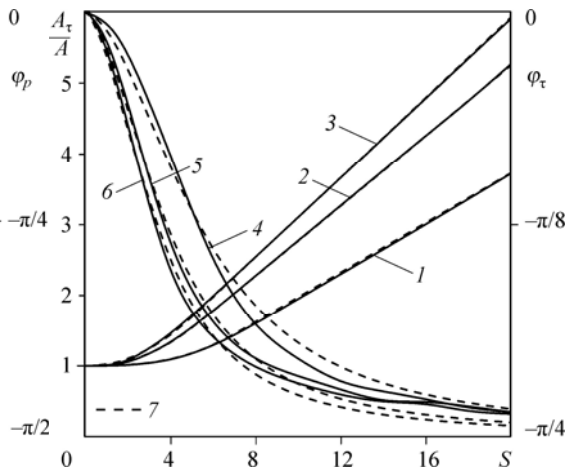


Рис. 5. Амплитуда и фаза колебаний среднего по периметру коэффициента сопротивления трения.

1, 2, 3 — амплитуда, 4, 5, 6 — фаза;  $h/a = 0$  (1, 4), 0,439 (2, 5), 1 (3, 6); 7 — расчет по аппроксимирующим зависимостям.

На рис. 4, 5 приведены также результаты расчетов по предложенным в работе аппроксимирующим зависимостям, которые могут быть использованы в практических приложениях. Эти зависимости имеют следующий вид:

$$A_p = S^{n_p} / a_p + 1, \quad \varphi_p = -\pi/2 + 1/(S^2 / b_p + 2/\pi),$$

$$A_\tau = S^{n_\tau} / a_\tau + c, \quad \varphi_\tau = -\pi/4 + 1/(S^2 / b_\tau + 4/\pi).$$

Для прямоугольного канала:

$$S = 0-6: n_p = 2,5 + 0,48/(4,7h/a + 1), \quad a_p = 12,1 + 58,7/(9,55h/a + 1); \quad \delta A_p = 5,6 \%$$

$$n_\tau = 2,12 + 1,38/(5h/a + 1), \quad a_\tau = 21,5 + 1926,5/(41,4h/a + 1), \quad c = 1; \quad \delta A_\tau = 3,1 \%$$

$$S = 6-20: n_p = 2, \quad a_p = 5,65 + 6,55/(5,5h/a + 1); \quad \delta A_p = 6 \%$$

$$n_\tau = 1, \quad a_\tau = 2,93 + 2,77/(3,45h/a + 1), \quad c = 0,285 - 0,082/(150h/a + 1);$$

$$\delta A_\tau = 0,95 \%$$

$$S = 0-20: b_p = 8,4 + 7,94/(4,3h/a + 1); \quad \Delta \varphi_p = 0,075.$$

$$b_\tau = 5,25 + 16,65/(4,55h/a + 1); \quad \Delta \varphi_\tau = 0,04.$$

Для плоского канала:

$$S = 0-10: n_p = 2,55, \quad a_p = 38,7; \quad \delta A_p = 6,2 \%$$

$$n_\tau = 2,65, \quad a_\tau = 471, \quad c = 1; \quad \delta A_\tau = 2,6 \%$$

$$S = 10-20: n_p = 2, \quad a_p = 11,6, \quad \delta A_p = 0,7 \%$$

$$n_\tau = 1, \quad a_\tau = 6, \quad c = 0,232; \quad \delta A_\tau = 0,13 \%$$

$$S = 0-20: b_p = 16,44; \quad \Delta \varphi_p = 0,061.$$

$$b_\tau = 24; \quad \Delta \varphi_\tau = 0,031.$$



Для круглой трубы:

$$S=0-5: n_p = 2,8, a_p = 27,5; \delta A_p = 3,7 \%$$

$$n_\tau = 2,9, a_\tau = 200, c = 1; \delta A_\tau = 2 \%$$

$$S=5-20: n_p = 2, a_p = 7,7; \delta A_p = 2,7 \%$$

$$n_\tau = 1, a_\tau = 4, c = 0,278; \delta A_\tau = 0,4 \%$$

$$S=0-20: b_p = 10,85; \Delta\varphi_p = 0,056.$$

$$b_\tau = 10,65; \Delta\varphi_\tau = 0,029.$$

В приведенных выше выражениях  $\delta$  и  $\Delta$  — максимальные относительная и абсолютная погрешности аппроксимации результатов численного моделирования.

На рис. 6 представлены рассчитанные в работе [19] профили амплитуд и фаз колебаний скорости при течении в круглой трубе и плоском канале (для плоского канала характерный геометрический размер в выражении для числа Стокса выбран равным не высоте, а половине высоты канала  $h/2$ ).

При малых  $S$   $A_u/A = 1$ , поэтому  $\tilde{U}/A = A_u\bar{U}/A = \bar{U}$ . Для плоского канала  $\bar{U} = 1,5(1-Z^2)$ , для круглой трубы  $\bar{U} = 2(1-Z^2)$ ,  $Z$  — безразмерная радиальная координата. Фазы колебаний в этом случае равны нулю. С увеличением числа Стокса на профиле амплитуды вблизи стенки появляется максимум. Фаза колебаний скорости имеет отрицательное значение, которое у стенки стремится к значению фазы колебаний касательного напряжения на стенке. Вблизи оси амплитуда и абсолютное значение фазы уменьшаются, причем фаза колебаний принимает малые положительные значения. При дальнейшем росте  $S$  в большей части сечения, кроме области вблизи стенки, профиль колеблющейся составляющей скорости становится равномерным, а фаза колебаний скорости стремится к нулю, т.е. наблюдается упомянутый выше эффект Ричардсона.

Аналогичное влияние оказывают пульсации средней по сечению скорости на колебания скорости в прямоугольном канале, результаты расчета которых представлены на рис. 7, 8. Видно, что с увеличением частоты колебаний максимум на профиле скорости сдвигается к стенкам канала, а фаза колебаний при приближении к центру канала сначала

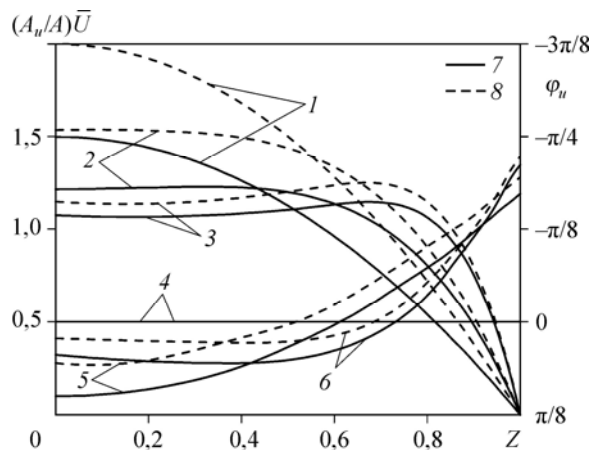


Рис. 6. Профили амплитуды и фазы колебаний скорости.

1, 2, 3 — амплитуда, 4, 5, 6 — фаза;  $S = 0,01$  (1, 4), 5 (2, 5), 10 (3, 6);  
7 — для плоского канала, 8 — для круглой трубы.

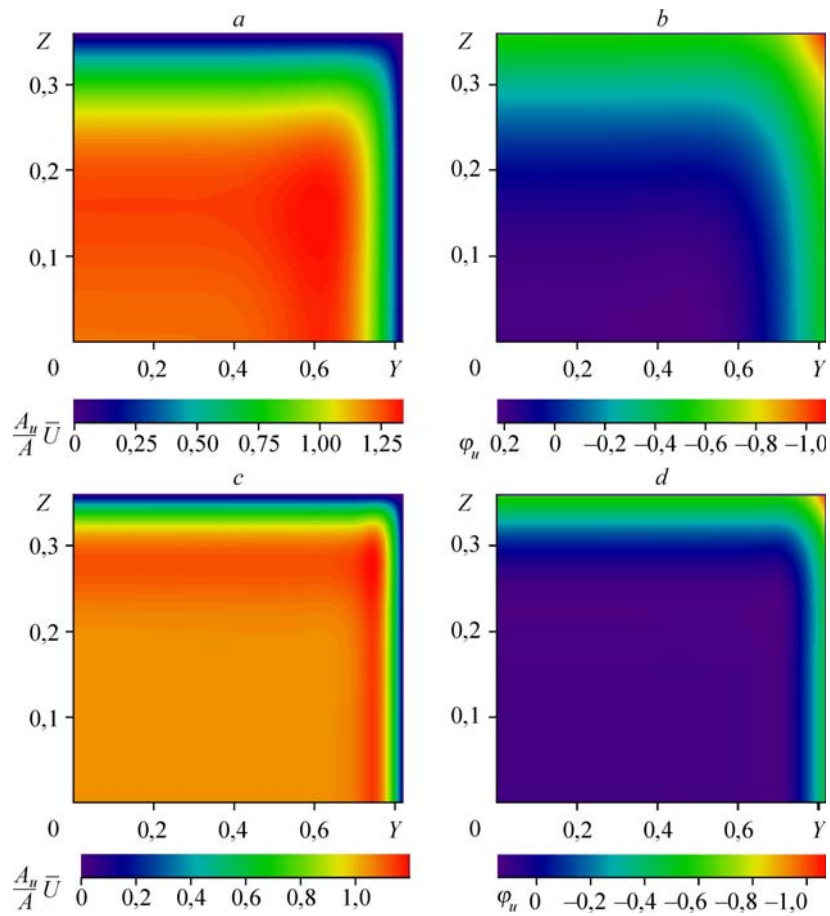


Рис. 7. Распределение амплитуды и фазы колебаний скорости по сечению канала для  $h/a = 0,439$ .  
 $a, c$  — амплитуда,  $b, d$  — фаза;  $S = 8$  ( $a, b$ ),  $20$  ( $c, d$ ).

увеличивается до нуля, а затем становится положительной. Понятно, что фаза колебаний на стенках канала равна нулю, т. к. должно выполняться условие прилипания. Однако вблизи угловой точки она стремится к фазе колебаний давления, что следует из уравнения движения. При больших числах Стокса колебания жидкости сосредоточены у стенок. С уменьшением отношения сторон линии постоянных амплитуд и фаз, выделенные цветом, вытягиваются. В предельном случае колебаний в плоском канале эти линии становятся горизонтальными.

На рис. 9 показаны изменения по периметру канала амплитуды и фазы колебаний касательного напряжения на стенке. Максимальные значения этих величин наблюдаются вблизи угловой точки канала и приближаются к значениям амплитуды и фазы колебаний давления.

Представляют интерес значения режимных параметров ( $A, S$ ), при которых наблюдаются возвратные течения. Эти течения в первую очередь возникают около стенки вблизи угловых точек канала, где амплитуда колебаний скорости максимальна. Критерием появления возвратных течений может служить отрицательное значение касательного напряжения на стенке, когда  $A_\tau > 1$  (для прямоугольного канала  $A_p > 1$ ). На рис. 10 для каналов с разной формой поперечного сечения построены линии  $A(S)$ , ниже которых

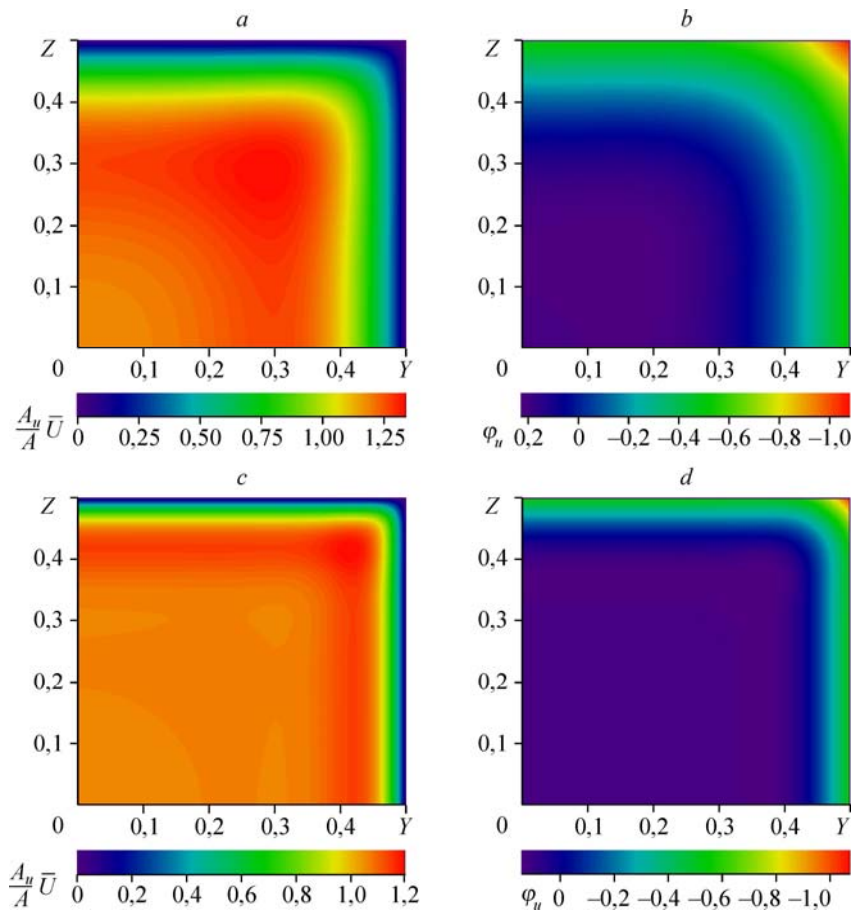


Рис. 8. Распределение амплитуды и фазы колебаний скорости по сечению канала для  $h/a = 1$ .  
 $a, c$  — амплитуда,  $b, d$  — фаза;  $S = 8$  ( $a, b$ ),  $20$  ( $c, d$ ).

возвратные течения отсутствуют. При построении указанных линий использованы корреляционные зависимости для  $A_\tau$ ,  $A_p$ , приведенные выше. Результаты хорошо согласуются с данными [8] для круглой трубы. На рис. 10 достаточно четко видна граница квазистационарной области  $S < 1$ .

### Заключение

Разработана разностная схема и компьютерная программа для численного моделирования пульсирующего ламинарного течения в прямоугольном канале, которые в дальнейшем могут быть использованы для случая (распространенного на практике), когда наложенные колебания не являются гармоническими.

Проанализировано влияние частоты колебаний средней по сечению скорости и отношения сторон прямоугольного канала на колебания гидродинамических характеристик потока. Определены границы квазистационарной и высокочастотной областей; в последней из этих областей амплитуда колебаний касательного напряжения на стенке возрастает пропорционально числу Стокса, а амплитуда колебаний давления — квадрату этого числа. При переходе от плоского канала к каналу квадратного сечения указанные амплитуды возрастают. Влияние отношения сторон на фазы колебаний менее значительно, чем на амплитуды.

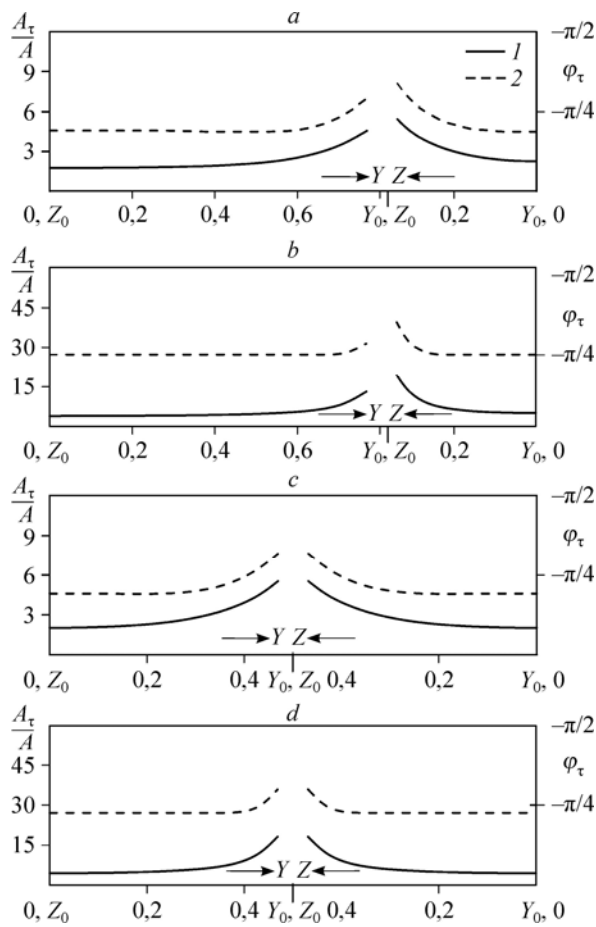


Рис. 9. Распределение по периметру канала амплитуды и фазы колебаний коэффициента сопротивления трения.

1 — амплитуда, 2 — фаза;  $h/a = 0,439$  (a, b), 1 (c, d);  $S = 8$  (a, c), 20 (b, d).

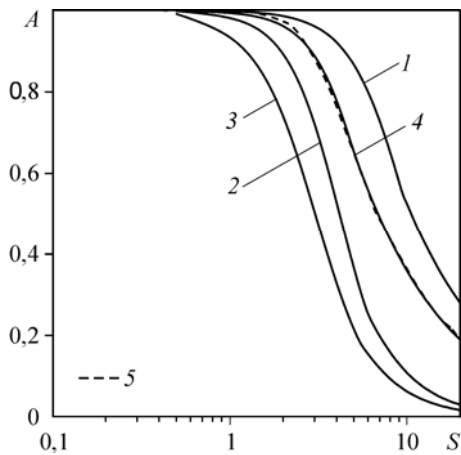


Рис. 10. Условия существования возвратных течений.

1 — плоский канал, 2 —  $h/a = 0,439$ ; 3 —  $h/a = 1$ , 4 — круглая труба, 5 — данные работы [8].

Предложены аппроксимирующие зависимости для амплитуд и фаз колебаний коэффициентов гидравлического сопротивления и сопротивления трения при пульсирующем течении в прямоугольном, плоском каналах и в круглой трубе, которые дают возможность рассчитать потери давления и распределение сопротивления трения в системах микроканалов, что важно для практических приложений.

Полученные расчетные данные по распределению продольной скорости в поперечном сечении канала в зависимости от времени и режимных параметров в будущем могут быть использованы для численного моделирования процесса теплообмена при ламинарном пульсирующем течении в прямоугольном канале и для объяснения особенностей этого процесса.

## Список литературы

1. Marx U., Walles H., Hoffmann S., Linder G., Horland R., Sonntag F., Klotzbach U., Sakharov D., Tonevitsky A., Louster R. "Human-on-a-chip" developments: a translational cutting-edge alternative to systemic safety assessment and efficiency evaluation of substances in laboratory animals and man? // ATLA. 2012. Vol. 40. P. 235–257.
2. Inman W., Domansky K., Serdy J., Owens B., Trimper D., Griffith L.G. Design, modeling and fabrication of a constant flow pneumatic micropump // J. Micromech. Microeng. 2007. Vol. 17. P. 891–899.
3. Pasirayi G., Auger V., Scott S.M., Ranman P.K.S.M., Islam M., O'Hare, Ali Z. Microfluidic bioreactors for cell culturing: a review // Micro and Nanosystems. 2011. Vol. 3, No. 2. P. 137–160.
4. Tikekar M., Sing S.G., Agrawal A. Measurement and modeling of pulsatile flow in microchannel // Microfluid Nanofluid. 2010. Vol. 94. P. 1225–1240.
5. Richardson E.G., Tyler E. The transverse velocity gradient near the mouths of pipes in which an alternating or continuous flow of air is established // Proc. Phys. Soc. London. 1929. Vol. 42, No. 1. P. 7–14.
6. Sexl T., Uber E.G. Richardson entdeckten "annular effekt" // Z. Phys. 1930. Vol. 61, No. 6/7. P. 349–362.
7. Uchida S. The pulsating viscous flow superposed on the steady laminar motion of incompressible fluid in a circular pipe // ZAMP. 1956. Vol. 7, No. 5. P. 403–422.
8. Ünsal B., Ray S., Durst F., Ertunç Ö. Pulsating laminar pipe flows with sinusoidal mass flux variations // Fluid Dynamics Research. 2005. Vol. 37. P. 317–333.
9. Зигель Р., Перлмуттер М. Теплоотдача при пульсирующем ламинарном течении в канале // Теплопередача. 1962. № 2. С. 18–32.
10. Drake D.G. On the flow in a channel due to a periodic pressure gradient // Q. J. Mech. Appl. Math. 1965. Vol. 18. P. 1–10.
11. Fan C., Chao B.-T. Unsteady, laminar, incompressible flow through rectangular ducts // ZAMP. 1965. Vol. 16. P. 351–360.
12. Yakhot A., Arad M., Ben-Dor G. Numerical investigation of a laminar pulsing flow in a rectangular duct // Int. J. Numer. Meth. Fluids. 1999. Vol. 29. P. 935–950.
13. Tsangaris S., Vlachakis N.W. Exact solution of the Navier–Stokes equations for the fully developed, pulsing flow in a rectangular duct with a constant cross-sectional velocity // J. Fluids Eng. 2003. Vol. 125. P. 382–385.
14. Tsangaris S., Vlachakis N.W. Exact solution of the Navier–Stokes equations for the oscillating flow in a duct of a cross-section of right-angled isosceles triangle // ZAMP. 2003. Vol. 54. P. 1094–1100.
15. Tsangaris S., Vlachakis N.W. Exact solution for the pulsating finite gap Dean flow // Appl. Math. Modelling. 2007. Vol. 31. P. 1899–1906.
16. Минаков А.В., Лобасов А.С., Дектерев А.А. Моделирование гидродинамики и конвективного теплообмена в микроканалах // Вычислительная механика сплошных сред. 2012. Т. 5, № 4. С. 481–488.
17. Persoons T., Saenen T., Van Oevelen T., Baelmans M. Effect of flow pulsation on the heat transfer performance of a minichannel heat sink // J. Heat Transfer. 2012. Vol. 134. P. 1–7.
18. Yan B.H., Yang Y.H. Forced convection with laminar pulsating flow in a tube // J. Heat Mass Transfer. 2011. Vol. 47. P. 197–202.
19. Валуева Е.П., Пурдин М.С. Гидродинамика и теплообмен пульсирующего ламинарного потока в каналах // Теплоэнергетика. 2015. № 9. С. 24–33.
20. Анискин В.М., Адаменко К.В., Маслов А.А. Измерение давления внутри микроканалов различной формы // Наносистемы: Физика, Химия, Математика. 2012. Т. 3, № 2. С. 37–46.
21. Валуева Е.П., Попов В.Н. Математическое моделирование пульсирующего турбулентного течения жидкости в круглой трубе // Докл. РАН. 1993. Т. 332, № 1. С. 44–47.
22. Tjudeman N. On the propagation of sound waves in cylindrical tubes // J. Sound and Vibration. 1975. Vol. 39, No. 1. P. 1–33.
23. Гликман Б.Ф. Математические модели пневмогидравлических систем. М.: Наука, 1976. 552 с.
24. Han L.S. Hydrodynamic entrance lengths for incompressible laminar flow in rectangular ducts // Trans. ASME Ser. E. Appl. Mech. 1960. Vol. 27, No. 3. P. 403–409.

*Статья поступила в редакцию 25 февраля 2015 г.,  
после доработки — 14 мая 2015 г.*